

УДК 681.335.2 : 621.396.62

В. А. Федоров

(Томск)

### АНАЛИЗ ФОРМИРОВАНИЯ МЕТОДОМ ЗАДЕРЖЕК КВАДРАТУРНЫХ КОМПОНЕНТ УЗКОПОЛОСНЫХ КОЛЕБАНИЙ

Анализируются два способа формирования квадратурных компонент узкополосного случайного процесса при использовании его мгновенных значений, отделенных друг от друга на интервал  $\Delta t = 1/4f_0$ , где  $f_0$  — опорная частота.

Общеизвестны преимущества низкочастотного комплексного представления сигналов и шумов. Однако традиционные способы формирования квадратурных компонент (КК) часто неприемлемы из-за недостаточной оперативности. Поэтому представляется целесообразным исследовать точностные характеристики наиболее простых и быстрых методов получения КК и дать практические рекомендации по их применению.

В работе [1] проанализирован метод, когда в качестве КК узкополосного колебания  $u(t)$  с известной центральной частотой  $f_0$  используются взятые через интервал задержки  $\Delta t = 1/4f_0$  пары мгновенных значений самого  $u(t)$ . Далее на качественном уровне кратко рассматривается случай, когда  $f_0$  априори неизвестна, а прием  $u(t)$  осуществляется идеальным прямоугольным фильтром. Примененный автором работы [1] анализ на уровне рассмотрения огибающей и фаз колебания  $u(t)$  позволил получить практические выражения для дисперсии оценки второй квадратурной компоненты лишь для гауссова процесса.

Целью данной работы является более детальный анализ ошибок описанного в [1] метода получения КК, когда частота сигнала  $f_c$  точно неизвестна, например, при наличии частотных доплеровских сдвигов. Предполагаем, что прием  $u(t)$  осуществляется на фоне независимого аддитивного шума  $n(t)$ , т. е. необходимо получить КК смеси сигнала и шума  $y(t) = u(t) + n(t)$ , что также налагает дополнительные ограничения на возможности метода. Наконец, для увеличения точности формирования КК анализируется модификация метода [1].

Рассмотрим типичную практическую ситуацию, когда в некоторой полосе частот осуществляется прием узкополосного стационарного центрированного случайного процесса. Входной полосовой фильтр приемника должен обеспечивать достаточно полный охват спектральной плотности (СП) сигнала  $G_c(f)$  с учетом его возможного сдвига относительно некоторой опорной частоты  $f_0$ . В локационных приложениях из-за доплеровских расстройек разных знаков для получения наименьшей скорости изменения КК целесообразно в качестве опорной принять излучаемую частоту. Также предполагаем, что в пределах полосы пропускания спектр шума белый, т. е. СП шума  $G_{ш}(f)$  на выходе приемной системы полностью определяется АЧХ фильтра, центральная частота которого равна  $f_0$ . С учетом сделанных предположений сигнал и шум можно записать в виде

$$u(t) = U(t)\cos[2\pi f_c t + \varphi_c(t)] \quad \text{и} \quad n(t) = N(t)\cos[2\pi f_0 t + \varphi_{ш}(t)],$$

где  $U(t)$ ,  $N(t)$  — огибающие,  $\varphi_c(t)$ ,  $\varphi_m(t)$  — случайные фазы сигнала и шума. Полагая также, что СП сигнала и шума симметричны относительно  $f_c$  и  $f_0$ , соответственно имеем следующие выражения для корреляционных функций указанных аддитивных компонент:

$$B_c(\tau) = \sigma_c^2 \rho_c(\tau) \cos \cdot 2\pi f_c \tau \quad \text{и} \quad B_m(\tau) = \sigma_m^2 \rho_m(\tau) \cos \cdot 2\pi f_0 \tau,$$

где  $\sigma_c^2$ ,  $\sigma_m^2$  — мощности сигнала и шума,  $\rho_c(\tau)$ ,  $\rho_m(\tau)$  — огибающие их корреляционных функций.

Высокочастотное центрированное колебание  $y(t) = u(t) + n(t)$  можно представить с помощью низкочастотных КК смеси сигнала и шума  $Y_c(t)$ ,  $Y_s(t)$  относительно опорной частоты  $f_0$  [2]:

$$y(t) = Y_c(t) \cos \cdot 2\pi f_0 t - Y_s(t) \sin \cdot 2\pi f_0 t, \quad (1)$$

где  $Y_c(t) = U_c(t) + N_c(t)$ ,  $Y_s(t) = U_s(t) + N_s(t)$ , а  $U_c(t) = U(t) \cos \theta(t)$ ,  $U_s(t) = U(t) \sin \theta(t)$ ,  $N_c(t) = N(t) \cos \varphi_m(t)$ ,  $N_s(t) = N(t) \sin \varphi_m(t)$  — отдельные КК сигнала и шума,  $\theta(t) = 2\pi f_d t + \varphi_c(t)$ ,  $f_d = f_c - f_0$  — расстройка частоты сигнала относительно опорной. При этом комплексная огибающая имеет вид:  $Z(t) = Y_c(t) + jY_s(t)$ , а корреляционные функции КК (сигнала  $R_c(\tau) = \sigma_c^2 \rho_c(\tau) \times \cos \cdot 2\pi f_d \tau$  и шума  $R_m(\tau) = \sigma_m^2 \rho_m(\tau)$ ) [2].

Для реализации метода, изложенного в [1], частота дискретизации высокочастотного сигнала  $f_d = 1/\Delta t = 4f_0$ , а интервал дискретизации квадратурных составляющих  $\Delta T$  предполагается кратным  $4\Delta t$ , т. е.  $\Delta T = 4\Delta t m$ , где  $m = 1, 2, \dots, M$ . Максимальное  $M$  определяется шириной спектра колебания  $y(t)$ .

Рассмотрим некоторый момент времени  $t_0$ , удовлетворяющий условию  $t_0 = n\Delta T$ , где  $n$  — целое число. Тогда из (1):  $y(t_0) = Y_c(t_0)$ ,  $y(t_0 - \Delta t) = Y_s(t_0 - \Delta t)$ ,  $y(t_0 + \Delta t) = -Y_s(t_0 + \Delta t)$ . Таким образом, отсчеты высокочастотного колебания, разнесенные на  $\Delta t = 1/4f_0$ , совпадают с отсчетами низкочастотных КК ( $y(t_0 + \Delta t)$  с точностью до знака). При этом полученные КК относятся к разным моментам времени, сдвинутым друг относительно друга на  $\Delta t$ . Учитывая медленность изменения КК на интервале  $\Delta t$ , можно записать  $y(t_0 - \Delta t) \approx Y_s(t_0)$  и  $y(t_0 + \Delta t) \approx -Y_s(t_0)$ , т. е. в качестве оценок  $Y_s(t_0)$  можно принять величины:

$$\tilde{Y}_s(t_0) = y(t_0 - \Delta t) \quad \text{или} \quad \tilde{Y}_s(t_0) = -y(t_0 + \Delta t). \quad (2)$$

(Если знак перед  $y(t_0 + \Delta t)$  не инвертируется, как в [1], то комплексную огибающую необходимо записать в виде  $Z(t_0) = y(t_0) - jy(t_0 + \Delta t)$ .)

Для увеличения точности формирования последовательности пар отсчетов КК, относящихся к одному моменту времени, целесообразно осуществить линейную интерполяцию имеющихся отсчетов  $\tilde{Y}_s$ :

$$\hat{Y}_s(t_0) = [y(t_0 - \Delta t) - y(t_0 + \Delta t)]/2. \quad (3)$$

Найдем квадраты среднеквадратичных ошибок (средние мощности методических ошибок) оценок (2)  $\varepsilon_1^2 = D[\tilde{Y}_s(t_0) - Y_s(t_0)]$  и (3)  $\varepsilon_2^2 = D[\hat{Y}_s(t_0) - Y_s(t_0)]$ , где  $D[\cdot]$  — символ дисперсии. Полагая, что стационарные независимые процессы  $u(t)$  и  $n(t)$ , по крайней мере, дважды дифференцируемы, и разлагая в ряд Маклорена получающиеся при статистических усреднениях

медленно меняющиеся вблизи нулевых  $\tau$  корреляционные функции КК, находим

$$\epsilon_1^2 = \{-\sigma_c^2 [\rho_c''(0) - 4\pi^2 f_d^2] - \sigma_{ш}^2 \rho_{ш}''(0)\} / 16f_0^2 + O(1/f_0^4), \quad (4)$$

$$\epsilon_2^2 = \frac{\sigma_c^2 [\rho_c^{(4)}(0) - 24\pi^2 f_d^2 \rho_c''(0) + 16\pi^4 f_d^4] + \sigma_{ш}^2 \rho_{ш}^{(4)}(0)}{1024f_0^4} + O(1/f_0^6). \quad (5)$$

Последние выражения запишем в спектральных терминах. Используя известные соотношения, связывающие производные в нуле огибающей корреляционной функции  $\rho(\tau)$  с алгебраическими моментами СП  $G(f)$  [3], получаем

$$\epsilon_1^2 = \pi^2 \{ \sigma_c^2 [\kappa_2[G_c(f)] + f_d^2] + \sigma_{ш}^2 \kappa_2[G_{ш}(f)] \} / 4f_0^2, \quad (6)$$

$$\epsilon_2^2 = \pi^4 \{ \sigma_c^2 [\kappa_4[G_c(f)] + 6f_d^2 \kappa_2[G_c(f)] + f_d^4] + \sigma_{ш}^2 \kappa_4[G_{ш}(f)] \} / 64f_0^4, \quad (7)$$

где  $\kappa_2[G_c(f)]$ ,  $\kappa_4[G_c(f)]$ ,  $\kappa_2[G_{ш}(f)]$ ,  $\kappa_4[G_{ш}(f)]$  — центральные моменты второго и четвертого порядков СП сигнала и шума.

Пронормируем средние мощности методических ошибок  $\epsilon_1^2$  и  $\epsilon_2^2$  на мощность обрабатываемой смеси  $\sigma^2 = \sigma_c^2 + \sigma_{ш}^2$  и введем безразмерные параметры:

$$\epsilon_1^2 / \sigma^2 = \pi^2 [q(1 + \gamma^2) + \eta^2] / [16k^2(q + 1)], \quad (8)$$

$$\epsilon_2^2 / \sigma^2 = \pi^4 [q(\beta_c + 6\gamma^2 + \gamma^4) + \beta_{ш}\eta^4] / [1024k^4(q + 1)], \quad (9)$$

где  $q = \sigma_c^2 / \sigma_{ш}^2$  — отношение сигнал/шум (С/Ш),  $k = f_0 / 2\sqrt{\kappa_2[G_c(f)]}$  — средний коэффициент узкополосности сигнала (так как  $\sqrt{\kappa_2[G_c(f)]} = \Delta f_{ЭС}$  — по смыслу среднеквадратичная полуширина СП сигнала),  $\gamma = f_d / \Delta f_{ЭС}$  — относительный доплеровский сдвиг,  $\eta = 2\sqrt{\kappa_2[G_{ш}(f)]} / 2\Delta f_{ЭС} = \Delta f_{ЭШ} / \Delta f_{ЭС}$  — отношение ширин СП шума (или среднеквадратичной ширины полосы пропускания входного фильтра для белого шума на его входе) и сигнала,  $\beta_c = \kappa_4[G_c(f)] / \Delta f_{ЭС}^4$ ,  $\beta_{ш} = \kappa_4[G_{ш}(f)] / \Delta f_{ЭШ}^4$  — эксцессы СП сигнала и шума.  $\beta_c$  и  $\beta_{ш}$  характеризуют форму частотной протяженности СП сигнала и шума и в основном определяются крутизной спада  $G_c(f)$  и  $G_{ш}(f)$  (или квадрата АЧХ-фильтра) при удалении от их центральных частот.

Приведенные в различных формах соотношения (4) — (9) позволяют оценить ошибки «квадратуризации» для реальных параметров высокочастотных колебаний и приемных систем. Решая вопрос о применимости оценок (2) и (3), целесообразно ориентироваться на максимально возможные ошибки, например, при задании максимально возможных частотных расстройк  $|f_d|_{\max}$  или  $|\gamma|_{\max}$ . При этом, чтобы не потерять полезную информацию о сигнале, необходимо обеспечить достаточно полный охват входным фильтром спектра  $G_c(f)$ , т. е. должно выполняться  $\eta > |\gamma|_{\max}$ .

Проанализируем случай больших отношений С/Ш. Тогда при  $q \rightarrow \infty$   $\epsilon_1^2 / \sigma_c^2 = \pi^2(1 + \gamma^2) / 16k^2$  и  $\epsilon_2^2 / \sigma_c^2 = \pi^4(\beta_c + 6\gamma^2 + \gamma^4) / 1024k^4$ , т. е. методические ошибки обоих методов определяются главным образом коэффициентом узкополосности сигнала. Также существенно влияние параметра  $\gamma$  при больших расстройках  $f_c$  относительно опорной  $f_0$ . (Заметим, что частный случай выражения для  $\epsilon_1^2 / \sigma_c^2$  при  $\gamma = 0$  идентичен аналогичному выражению (18) работы [1], полученному другим способом для гауссовых случайных сигналов.) При

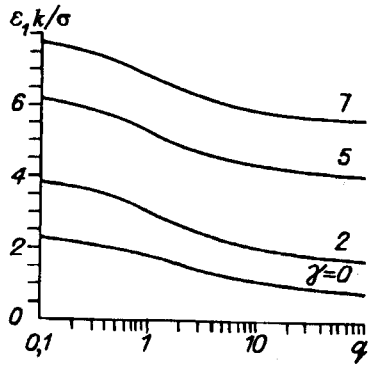


Рис. 1

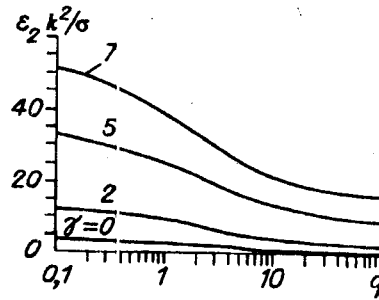


Рис. 2

наличия шума увеличения  $f_d$  и связанной с ней полосы пропускания приемника (параметр  $\eta$ ) приводят к еще большему росту рассматриваемых методических ошибок. Это объясняется уменьшением коэффициента узкополосности всей смеси сигнала и шума.

На рис. 1 и 2 в качестве примера изображены нормированные среднеквадратичные ошибки получения КК для гауссовой СП сигнала и гауссовой формы входного фильтра, т. е.  $\beta_c = 3$  и  $\beta_{ш} = 3$ . При этом для каждого относительного доплеровского сдвига  $\gamma$  параметр  $\eta = |\gamma| + 3$ , что соответствует практически полному охвату входным фильтром сигнальной компоненты. Из рисунков отчетливо видны преимущества метода получения КК с линейной интерполяцией.

Одним из разумных критериев применимости рассмотренных методов может служить отношение их ошибок к мощности шумов квантования  $P_{шк}$ , т. е. должно выполняться [1]:

$$\epsilon_1^2 \leq P_{шк}, \quad \epsilon_2^2 \leq P_{шк}. \quad (10)$$

Полагая  $x(t)$  гауссовым стационарным процессом, с учетом известного правила «трех сигм» можно получить [1]:

$$P_{шк} = 3\sigma^2/2^{2n}, \quad (11)$$

где  $n$  — число разрядов аналого-цифрового преобразования (АЦП). Тогда из (8), (10), (11) получаем условие применимости оценки (2):

$$k_1 \geq 0,45 \cdot 2^n \sqrt{[q(1 + \gamma^2) + \eta^2]/(q + 1)}, \quad (12)$$

из (9) — (11) — условие применимости оценки (3):

$$k_2 \geq 0,42 \cdot 2^{n/2} ([q(\beta_c + 6\gamma^2 + \gamma^4) + \beta_{ш}\eta^4]/(q + 1))^{1/4}. \quad (13)$$

Для случая отсутствия шумов на рис. 3 изображены графики зависимости минимально допустимых значений коэффициентов узкополосности  $k_{1min} = 0,45 \cdot 2^n \sqrt{1 + \gamma^2}$  и  $k_{2min} = 0,42 \cdot 2^{n/2} (\beta_c + 6\gamma^2 + \gamma^4)^{1/4}$  от относительных частотных расстройок  $\gamma$  при заданном числе  $n$  разрядов АЦП. Сплошные линии соответствуют

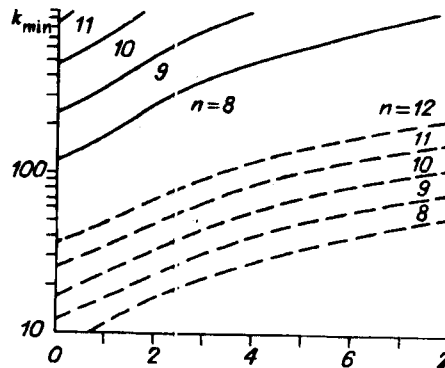


Рис. 3

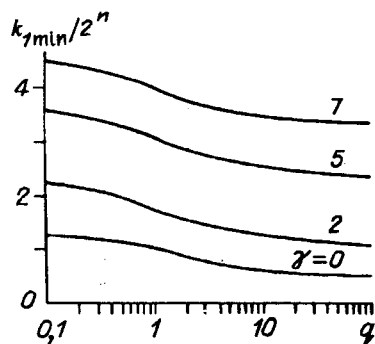


Рис. 4

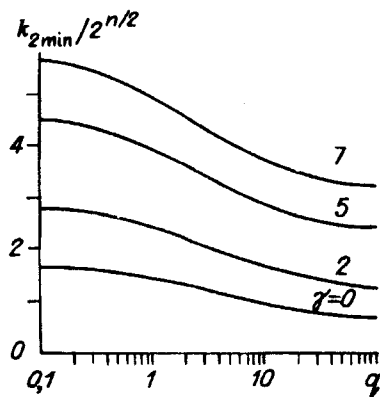


Рис. 5

оценке (2), а штриховые — оценке (3). Отметим сильное влияние частотных сдвигов на  $k_{1min}$  и  $k_{2min}$ . На рис. 4, 5 изображены графики зависимостей нормированных минимально допустимых величин  $k_{1min}/2^n$  и  $k_{2min}/2^{n/2}$  от отношения С/Ш при различных  $\gamma$ . При этом, как и ранее, СП сигнала и шума гауссовы, а  $\eta = |\gamma| + 3$ . Приведенные графики также подтверждают преимущества метода получения КК с линейной интерполяцией.

#### СПИСОК ЛИТЕРАТУРЫ

1. Побережский Е. С. Анализ метода дискретизации узкополосных колебаний // Изв. вузов. Радиоэлектроника. — 1984. — 27, № 3.
2. Тихонов В. И., Харисов В. Н. Статистический анализ и синтез радиотехнических устройств и систем. — М.: Радио и связь, 1991.
3. Хищенко В. И. О нормированных спектральных моментах стационарных случайных процессов // Изв. вузов. Радиофизика. — 1976. — 19, № 8.

Поступила в редакцию 4 марта 1993 г.